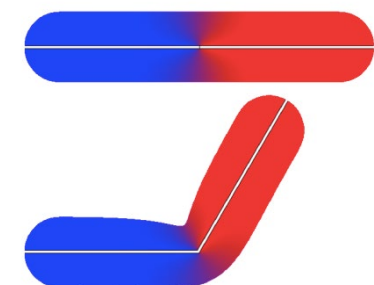
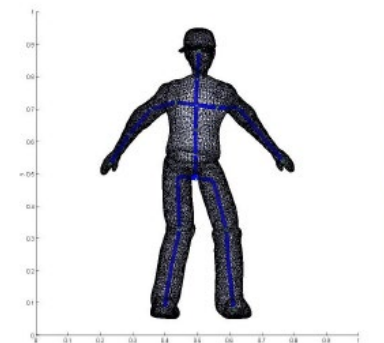
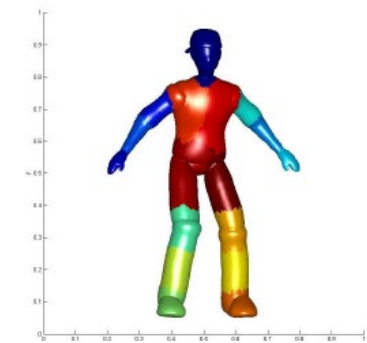




Comparison of Skinning Weight Derivation Methods of Digital Human Model



정성욱, 정하영, 홍영기, 유희천

포항공과대학교 산업경영공학과

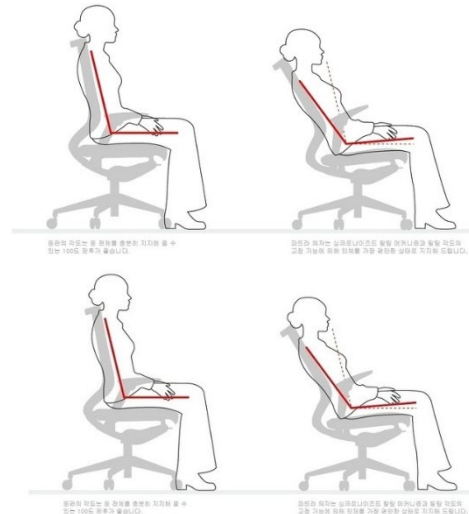
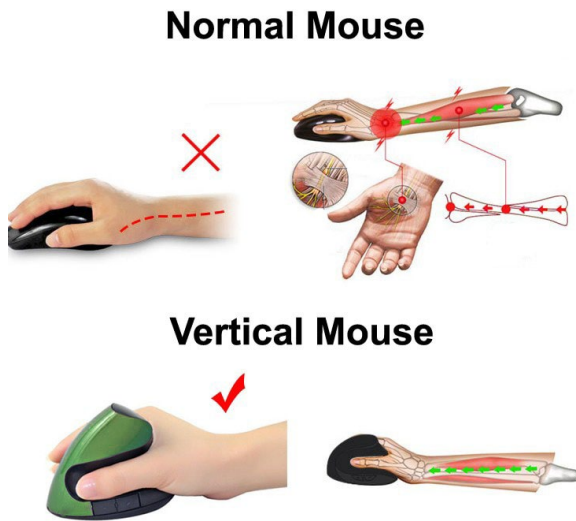
2019년 추계학술대회

Contents

- 1. 연구 배경**
- 2. 연구 목적**
- 3. Skinning Weight Calculation**
 - 문헌 조사 방법
 - Example pose based method
 - Mathematical model based method
 - **토의**

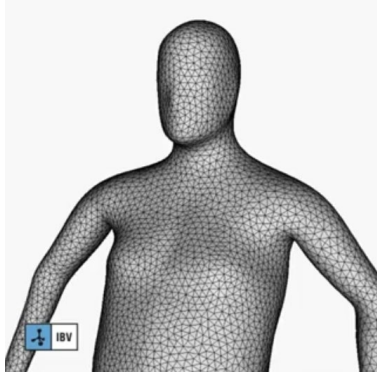
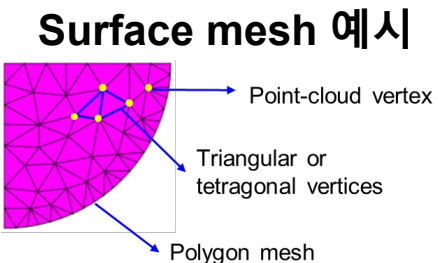
Digital Human Model과 인간공학적 제품 설계

- 사용자의 사용 편의성 및 조작성을 고려하지 않은 제품은 사용자에게 불편함, 부상 위험 등을 줄 수 있음
- Digital human model 기술이 인간공학적 제품 설계를 위한 인체 형상 분석, 인체 변수 측정 등에 활용될 수 있음

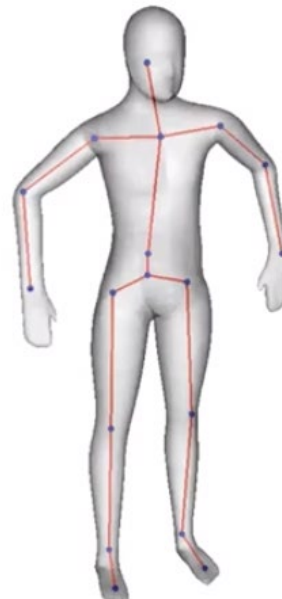


Digital Human Model 구성 요소

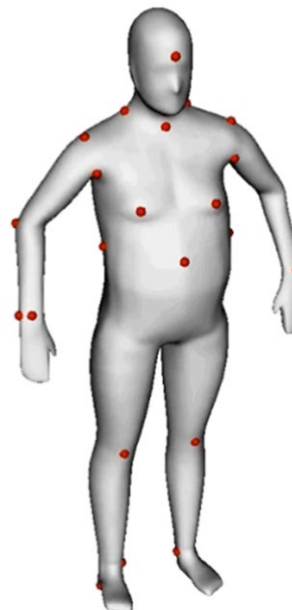
- Surface mesh: model의 표면을 이루는 점들의 집합
- Skeleton & joint: 인체 형상 및 자세를 고려한 skeleton link
- Landmark: 효율적인 인체 치수 측정을 위한 기준점
- Skinning weight: 뼈의 위치 변화에 따른 각 mesh point의 위치 변화 정도



Skeleton 예시

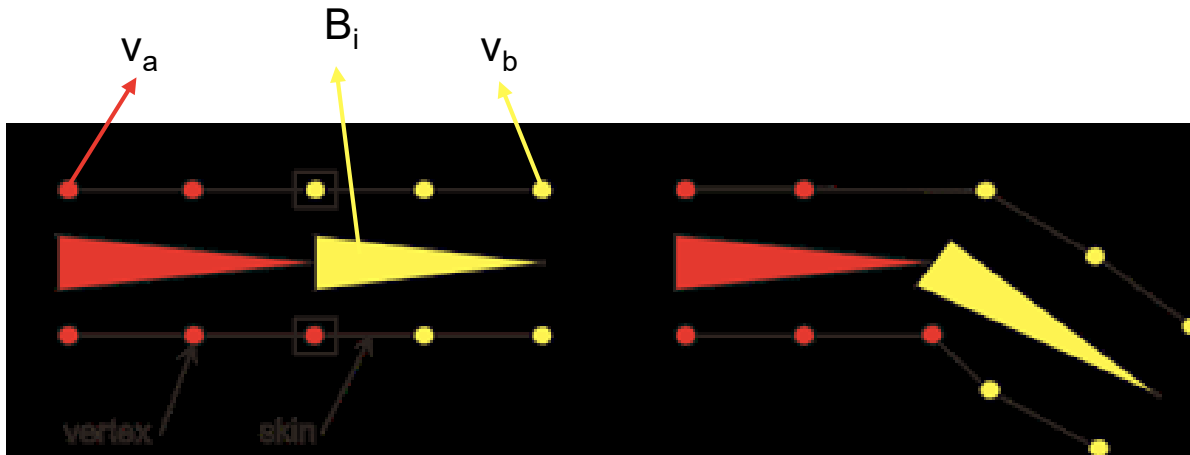


Landmark 예시



Skinning Weight

- Digital human model의 pose를 변형할 때 skinning weight가 중요
- Model의 skinning weight가 적절해야 자세를 변형시켜도 실제 인체 형상과 유사함
- Skinning weight란 각 뼈의 위치 변화에 각 mesh point의 위치가 변하는 정도
 - Skinning weight는 뼈의 영향력에 따라 0과 1 사이의 값을 가짐
 - Human model의 한 점 v_a 의 위치는 뼈 B_i 가 움직여도 변하지 않으면 v_a 와 B_i 의 skinning weight $w_{a,i} = 0$ 이 된다.
 - 반대로, 한 점 v_b 의 위치가 뼈 B_i 가 변하는 만큼 그대로 변한다면 $w_{b,i} = 1$ 이다.



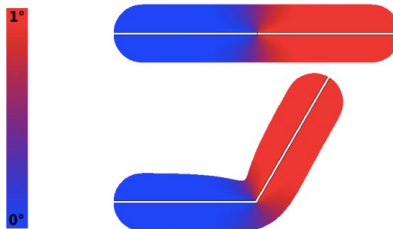
기존 연구의 한계

- 기존에 digital model을 구성할 때, skinning weight를 계산하지 않고 artists의 감각에 의지해 ‘painting’하는 경우가 많음
- Skinning weight를 계산하는 방법들이 존재하지만, 이들을 체계적으로 비교 분석한 사례가 없음
- 해당 분야가 주로 computer vision 분야에서 다뤄지기 때문에 인간공학적 관점에서 분석 및 유효성을 검증할 필요가 있음

Weight paint map 추가

Digital Human Model 구성 시 활용되는 Skinning Weight 도출 방법 문헌 조사

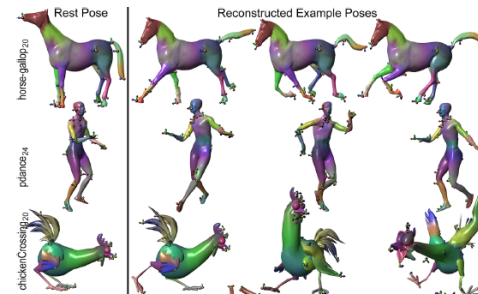
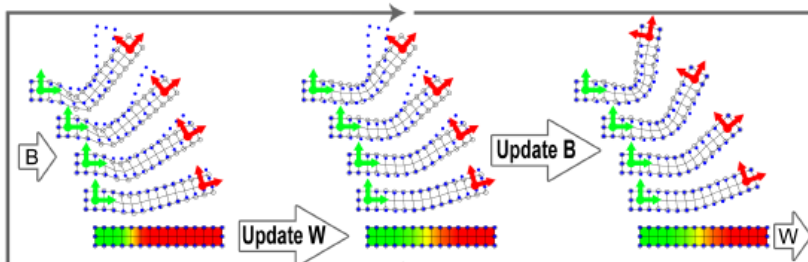
- Mathematical model based weight calculation



$$\omega(k, i) = \begin{cases} 1, & PD_{ki} \geq 2\epsilon \\ \frac{PD_{ki}}{\sum_{j=i}^q PD_{kj}}, & PD_{ki} < 2\epsilon \end{cases}$$

Three diagrams illustrate the calculation of skinning weights $\omega(k, i)$ based on the proximity PD_{ki} between vertex V_k and mesh triangle i .
Left: $PD_{ki} < 2\epsilon$, weight is 1.
Middle: $PD_{ki} \geq 2\epsilon$, weight is proportional to PD_{ki} over the sum of distances to all triangles.
Right: $PD_{ki} < 2\epsilon$, weight is proportional to PD_{ki} over the sum of distances to all triangles.

- Example pose based weight calculation



문헌 조사 방법

□ 문헌 조사 site: www.scopus.com

□ 검색 조건: title, abstract, keyword

□ 검색 keyword

✓ Skinning weight

✓ Hand mesh

✓ Hand skinning

✓ Hand weight calculation

* 검색식

TITLE-ABS-KEY ("skinning weight" OR "skinning weights" OR "hand mesh" OR "hand skinning" OR (hand AND "weight calculation"))

The screenshot shows a search results page from the Scopus database. The search bar at the top contains the query: 'TITLE-ABS-KEY ("skinning weight" OR "skinning weights" OR "hand mesh" OR "hand skinning" OR (hand AND "weight calculation"))'. The results are displayed in a table with columns for Document title, Authors, Year, Source, and Cited by. There are 78 results listed. The first few entries include:

Document title	Authors	Year	Source	Cited by
SumeCoder: An unsupervised framework for extractive text summarization based on deep auto-encoders	Joshi, A., Faloutsos, C., Raghavendra, R., Ferrández, A.	2019	Egypt Systems with Applications	0
An efficient page ranking approach based on vector scores using cheeger's algorithm	Gao, L., Kumar, R., Kumar, M., Chirita, N.	2019	Information Processing and Management	0
Real-time Large Crowd Rendering with Efficient Character and Instance Management on GPU	Deng, Y., Peng, C.	2019	International Journal of Computer Games Technology	0
DeepHPS: End-to-end estimation of 3D hand pose and shape by learning from synthetic depth	Mahesh, J., Elshafie, A., Numer, T., Li, J., Helal, A., Shabot, D.	2018	Proceedings - 2018 International Conference on 3D Vision, 3DV 2018	0
Enhanced Frequency-Domain Signal Detection for Single-Carrier Spatial Modulation Systems	Lee, Y., Seo, S.-I.	2018	2018 3rd International Conference on Computer and Communication Technologies in Medicine (ICCTM), pp. 263-267	0
Spline interface for intuitive skinning weight editing	Bang, S., Lee, S.-H.	2018	ACM Transactions on Graphics	0
View more				

선별 절차

S1. **Keywords 조합**을 통한 journal paper 검색



S2. **Title screening**을 통한 1차 선별



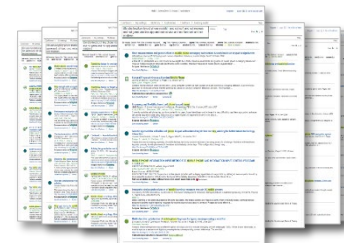
S3. **Abstract screening**을 통한 2차 선별



S4. 입수된 full paper에 대한 관련도 평가

TITLE-ABS-KEY ("skinning weight" OR "skinning weights" OR "hand mesh" OR "hand skinning" OR (hand AND "weight calculation"))

78 건



35 건



32 건

S5. 관련도에 따라 최종 review 대상 논문 선별

상: 14건, 중: 6건, 하: 11건

31 건

상: 14건, 중: 6건, 추가 2건

22 건

문헌 조사 결과 : Summary

- 선별된 문헌들의 weight 도출 방식(example pose based, mathematical model based), algorithm 등을 review함

Summary table 추가

2 Types of Skinning Weight Calculation Methods

□ Skinning weight를 계산하는 방법은 크게 두 가지 type으로 나눌 수 있음

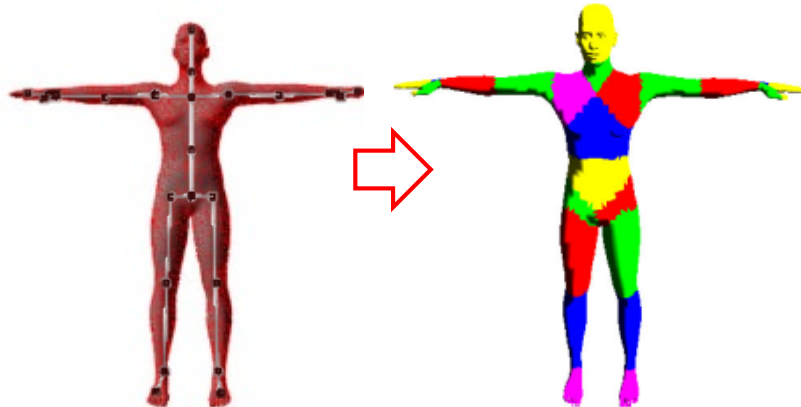
➤ Mathematical model based method

✓ Mathematical model을 이용해 한 가지 자세의 data에서 weight를 계산

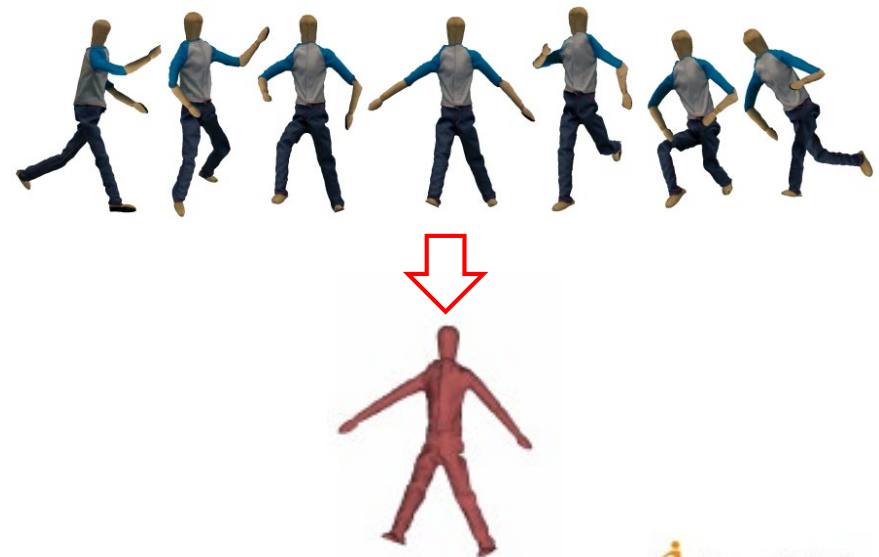
➤ Example pose based method

✓ 각기 다른 포즈의 여러 scanned data를 기반으로 weight를 계산

Mathematical model based method



Example pose based method



Mathematical Model Based Method

□ Skinning weight 분포를 나타내는 mathematical model을 구성한 후, bone과 mesh points를 대입하여 weight를 도출하는 방식

- Orthogonal projection
- Gaussian distribution
- Heat diffusion

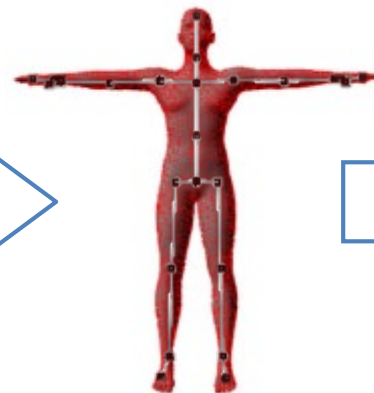
Mathematical model

$$\omega(k, i) = \begin{cases} 1, & PD_{ki} \geq 2\epsilon \\ \frac{PD_{ki}}{\sum_{j=i}^q PD_{kj}}, & PD_{ki} < 2\epsilon \end{cases}$$

$$\sum_i w_j^i \mathbf{T}^i(\mathbf{v}_j)$$

$$f(x) = ae^{-\frac{(x-0.5)^2}{2c^2}}$$

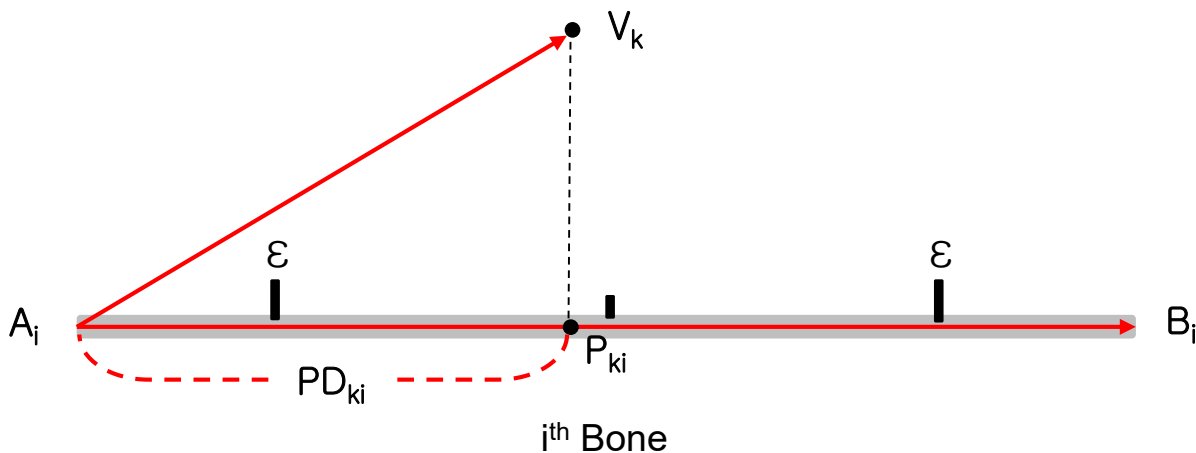
Human model



Skinning weight
도출

Orthogonal Projection

- Model 표면의 mesh point(v_k)를 bone의 양 끝점을 잇는 벡터(A_iB_i)로 projection한 점(P_{ki})의 위치에 따라 weight를 계산

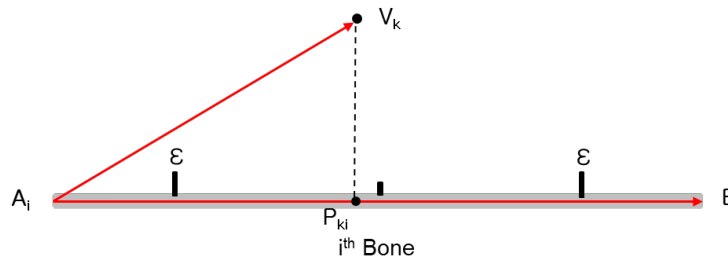


Orthogonal Projection

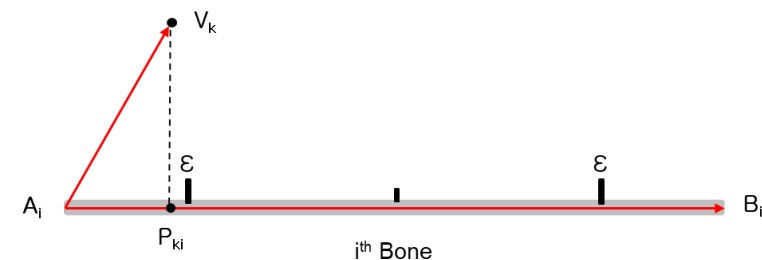
- 미리 설정한 threshold (ϵ)과 P_{ki} 의 위치 관계에 따라 weight를 계산

$$\omega(k, i) = \begin{cases} 1, & PD_{ki} \geq 2\epsilon \rightarrow \text{Point } V_k \text{가 bone } A_iB_i \text{에 완전히 속해있는 경우} \\ \frac{PD_{ki}}{\sum_j^q PD_{kj}}, & PD_{ki} < 2\epsilon \rightarrow \text{그렇지 않고 여러 뼈를 고려해야 하는 경우} \end{cases}$$

Case 1: $PD_{ki} \geq 2\epsilon$



Case 2: $PD_{ki} < 2\epsilon$

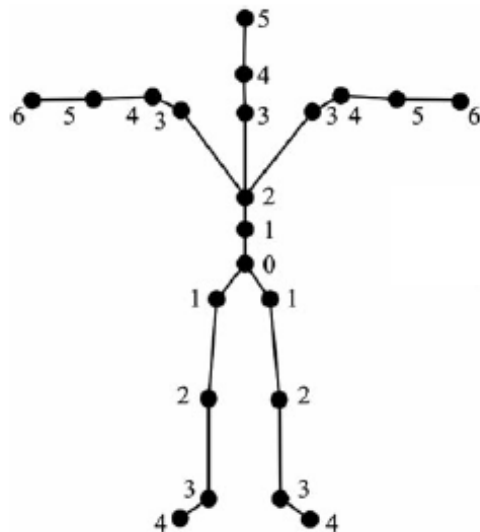


Gaussian Distribution

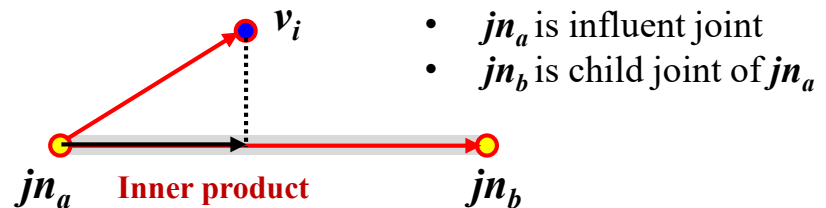
- Model의 skeleton 구조에서 hierarchy를 먼저 정의
 - 중심을 최상위 계층 0으로, 뼈가 뻗어 나갈수록 하위 계층으로 1씩 증가
 - Hierarchy 숫자가 작은 joint가 parent joint, 숫자가 큰 joint가 child joint

- Parent joint (jn_a)와 표면 상의 점 v_i 를 잇는 벡터를 parent joint와 child joint를 잇는 bone 벡터에 projection하여 orthogonal projection value(δ)를 계산

Skeleton hierarchy



Vector projection



Orthogonal projection value (δ)

$$\delta = \frac{(v_i - jn_a) \cdot (jn_b - jn_a)}{\|jn_b - jn_a\|^2}$$

Gaussian Distribution

□ Orthogonal projection value를 Gaussian function에 대입하여 weight를 계산

➤ Gaussian function

$$f(x) = ae^{-\frac{(x-0.5)^2}{2c^2}}$$

a: maximum value of $f(x)$

x: orthogonal projection value(δ)

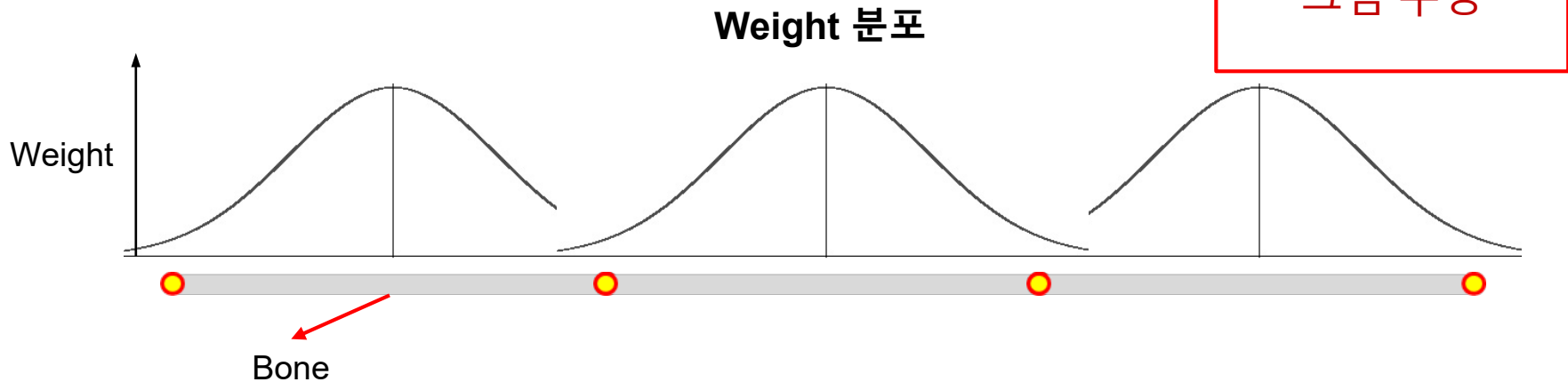
c: constant, controlling inflection point

Best parameter

a = 1.3, c = 0.25

➤ 최종적인 weight 분포는 Guassian distribution이 겹쳐진 형태

그림 수정

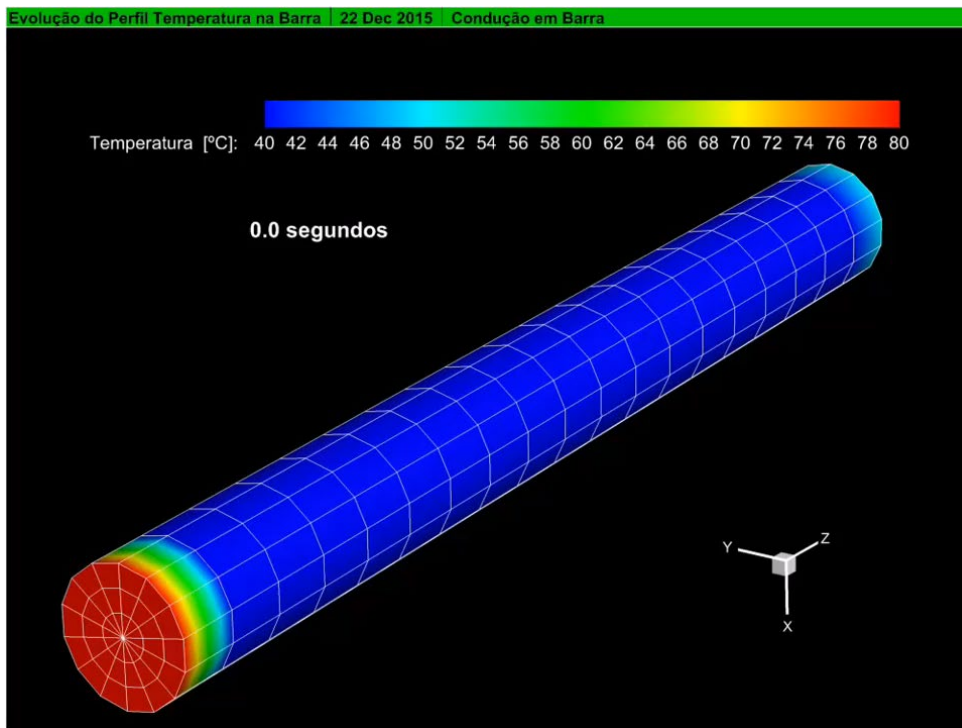


Heat Diffusion

□ 열 전도 현상과 열 평형 상태에서 motif를 얻은 mathematical model

- 양 끝의 온도가 다른 실린더에서 열이 확산되는 온도 분포를 이용해 weight를 계산

실린더 양 끝의 온도가 80°C, 50°C일 때, 열 전도



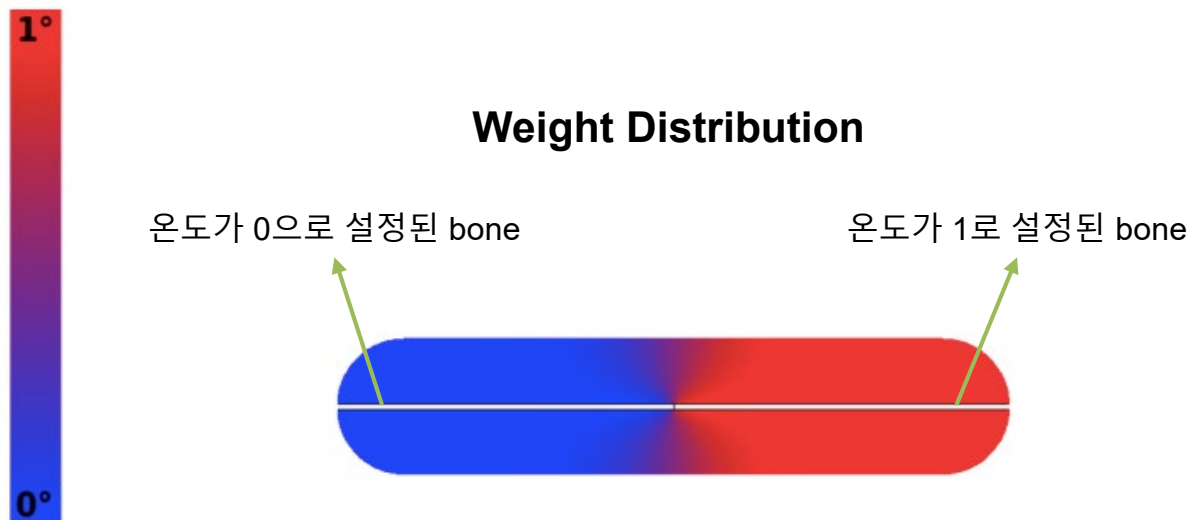
Heat Diffusion

□ Heat equilibrium equation을 적용하여 weight를 도출

- Point v에 가장 가까운 bone의 온도를 1로, 나머지 bone의 온도를 0으로 설정
- Heat equilibrium equation

$$-\Delta w^i + Hw^i = Hp^i$$

- Δ is the discrete surface Laplacian
- p^i is a vector with $p_j^i = 1$ if the nearest bone to vertex j is i and $p_j^i = 0$ otherwise
- H is the diagonal matrix with H^{jj} being the heat contribution weight of the nearest bone to vertex j



Example Pose Based Method

1. 한 가지 model의 여러 pose에 대해 scanning
2. Static model을 각각의 pose로 변형하는 transformation matrix 도출
3. 모든 pose에서 transformation error가 최소화되는 weight 계산

Scanning



Transformation matrix

$$\sum_{j=1, j \neq i}^{|B|} w_{ij} (R_j^t p_i + T_j^t)$$

Error minimization

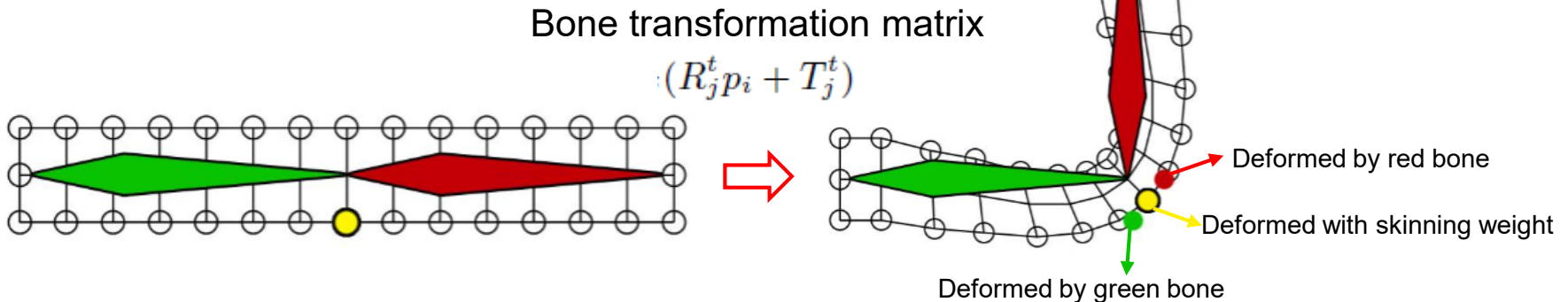
$$\min_{w, R, T} E = \min_{w, R, T} \sum_{t=1}^{|t|} \sum_{i=1}^{|V|} \left\| v_i^t - \sum_{j=1}^{|B|} w_{ij} (R_j^t p_i + T_j^t) \right\|^2$$

Mesh Transformation Matrix

□ Pose를 변형하는 bone transformation matrix에 bone과 mesh point의 weight를 곱해서 mesh point를 transformation

$$\sum_{j=1, j \neq \hat{j}}^{|B|} w_{ij} (R_j^t p_i + T_j^t)$$

- R_j^t : Pose t에서 bone j의 rotation matrix
- T_j^t : Pose t에서 bone j의 translation matrix
- p_i : Mesh point
- w_{ij} : p_i 와 bone j의 skinning weight



Error Minimization – Binh et al.(2012)

- Scanned data의 vertex point(v_i^t)와 transformation matrix를 통해 계산된 vertex point의 거리 차이를 최소화

$$\min_{w, R, T} E = \min_{w, R, T} \sum_{t=1}^{|t|} \sum_{i=1}^{|V|} \left\| v_i^t - \sum_{j=1}^{|B|} w_{ij} (R_j^t p_i + T_j^t) \right\|^2$$

v_i^t : Original vertex point from scanned data
 $\sum_{j=1}^{|B|} w_{ij} (R_j^t p_i + T_j^t)$: Transformed point

Subject to: $w_{ij} \geq 0, \forall i, j$

Non-negativity

$$\sum_{j=1}^{|B|} w_{ij} = 1, \forall i$$

Affinity

$$|\{w_{ij} | w_{ij} \neq 0\}| \leq |K|, \forall i$$

Sparse ness

$$R_j^t R_j^{t\top} = I, \det R_j^t = 1, \forall t, j$$

Orthogonality

Error Minimization – Fechteler et al.(2018)

- Binh et al.(2012)에서 적용한 것과 같은 두 vertex point의 거리 차이(data term)에 **shape prior term**이라는 새로운 error term을 추가

- Shape prior term: Laplace operator를 이용하여 scanned data 상에서 **인접한 points들이 비슷한 특성(표면 곡률, 표면 방향 등)을 갖도록** 하는 term

$$E_{\text{kin}} = \sum_{\substack{f=1 \dots F \\ j=1 \dots |\mathbf{X}^0|}} \left[v_j^{\text{scan}_f} - \mathcal{S}_f(v_j) \right]^2 + \alpha \left[\mathcal{L}[v_j^{\text{scan}_f}] - \mathcal{L}[\mathcal{S}_f(v_j)] \right]^2$$

Data term Shape prior term

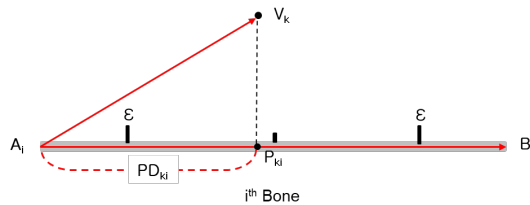
표면 곡률 관련 그림 추가

Discussion(1/2)

□ Skinning weight를 도출하는 방법을 크게 2가지로 나눌 수 있음을 확인

➤ Mathematical model based method

$$\omega(k, i) = \begin{cases} 1, & PD_{ki} \geq 2\epsilon \\ \frac{PD_{ki}}{\sum_{j=i}^q PD_{kj}}, & PD_{ki} < 2\epsilon \end{cases}$$

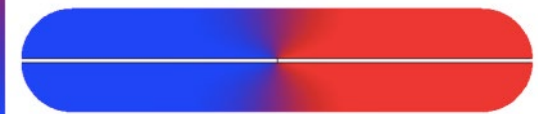


$$\delta = \frac{(v_i - jn_a) \cdot (jn_b - jn_a)}{\|jn_b - jn_a\|^2}$$

$$f(x) = ae^{-\frac{(x-0.5)^2}{2c^2}}$$



$$-\Delta \mathbf{w}^i + \mathbf{H}\mathbf{w}^i = \mathbf{H}\mathbf{p}^i$$



➤ Example pose based method



$$E_{\text{kin}} = \sum_{\substack{f=1 \dots F \\ j=1 \dots |\mathbf{x}^0|}} |v_j^{\text{scan}_f} - \mathcal{S}_f(v_j)|^2 + \alpha |\mathcal{L}[v_j^{\text{scan}_f}] - \mathcal{L}[\mathcal{S}_f(v_j)]|^2$$

$$E_{\hat{j}}^t = \sum_{i=1}^{|V|} \left\| v_i^t - \sum_{\substack{j=1 \\ j \neq \hat{j}}}^{|B|} w_{ij} (R_j^t p_i + T_j^t) - w_{\hat{j}} (R_{\hat{j}}^t p_i + T_{\hat{j}}^t) \right\|^2$$

Discussion(2/2)

□ 2가지 method의 특징 파악

Mathematical Model Based Method

- 하나의 pose에서 weight 도출
- Input data로 Model의 skeleton 정보 필요
- 빠르고 간단한 계산

Example Pose Based Method

- 여러 pose의 scanned data
- Example pose를 통해 skeleton 추출 가능
- Model의 mesh points의 수가 많아질수록 계산이 복잡해짐

Model이 복잡하거나 scanning이 힘든 경우에 활용할 수 있음

다양한 자세를 scanning 가능한 간단한 model에 활용할 수 있음

Future Work

- Review 내용을 바탕으로 weight calculation algorithm을 구현 및 적용
 - 여러 weight calculation method를 하나의 hand template model에 적용
 - 계산 시간, estimate error 측면에서 weight 계산 결과를 비교
 - Weight가 적용된 hand model의 pose를 변형하면서 calculation quality를 비교

Hand model 관련 그림 추가